

(HUANJING KEXUE)

ENVIRONMENTAL SCIENCE

第39卷 第5期

Vol.39 No.5

2018

____ 中国科学院生态环境研究中心 主办

斜学出版社出版



ENVIRONMENTAL SCIENCE

第 39 卷 第 5 期 2018年5月15日

次 Ħ

太湖颗粒态有机质的荧光特征及环境指示意义

吕伟伟1,姚昕1,2*,张保华1,刘延龙1,李元鹏1

(1. 聊城大学环境与规划学院,聊城 252000; 2. 中国科学院南京地理与湖泊研究所,湖泊与环境国家重点实验室,南京 210008)

摘要:作为水体中有机质分解与营养盐再生的核心载体之一,颗粒态有机质(POM)是一个潜在的可以被生物利用的重要营养源,势必对水华的暴发产生重要的影响.本研究采集了太湖8个典型区域32个样品,利用三维荧光技术(EEMs)并结合平行因子分析法(PARAFAC)解析夏季太湖水体 POM 的荧光特征、来源及环境指示意义,并对 POM 与 DOM 荧光特征的差异性及草、藻型湖区 POM 的差异性进行了分析.结果表明,太湖 POM 共有5种荧光组分,分别是类色氨酸(C1和C2)、类腐殖质(C3和C4)及类酪氨酸(C5);其中,C1与C2、C3与C4两两具有极显著相关关系,C5与C3、C4也具有极好的相关性;通过与已有文献中的 DOM 荧光特征进行比对发现,夏季太湖 POM 与 DOM 在组分构成、来源及其与水质参数的相关性上均存在差异性.夏季太湖 POM 既有外源输入,也有内源输入,但其荧光指数(FI、HIX、BIX)取值范围为1.78~2.35、0.3~2.7、0.8~1.1,表明内源特性相对强烈.类腐殖质荧光与 TN、TP、Chla、COD、POC、SS 均呈显著相关性,表明荧光分析法可以作为营养盐半定量分析的一个重要手段.藻型湖区 POM 类蛋白物质主要由类色氨酸和类酪氨酸构成,而草型湖区以类酪氨酸为主,没有或者有极少的类色氨酸荧光组分;值得注意的是,与藻型湖区相比,草型湖区含有较多的类酪氨酸荧光组分(1检验,P<0.01).藻型湖区 POM 类蛋白和类腐殖质荧光之间具有显著相关性,而草型湖区两者相关性不显著;藻型湖区 POM类蛋白和类腐殖质荧光均与 Chla 呈显著相关性,而草型湖区仅类腐殖质荧光与 Chla 具有显著相关关系.

关键词:三维荧光;平行因子分析法;颗粒态有机质;荧光特征;富营养化

中图分类号: X524 文献标识码: A 文章编号: 0250-3301(2018)05-2056-11 DOI: 10.13227/j. hjkx. 201709278

Fluorescent Characteristics and Environmental Significance of Particulate Organic Matter in Lake Taihu, China

LÜ Wei-wei¹, YAO Xin^{1,2*}, ZHANG Bao-hua¹, LIU Yan-long¹, LI Yuan-peng¹

(1. School of Environment and Planning, University of Liaocheng, Liaocheng 252000, China; 2. State Key Laboratory of Lake Science and Environment, Nanjing Institute of Geography and Limnology, Chinese Academy of Sciences, Nanjing 210008, China)

Abstract: Thirty-two samples were collected from eight typical areas in Lake Taihu. Three-dimensional excitation-emission matrix fluorescence spectra (EEMs) and a parallel factor analysis (PARAFAC) were applied to investigate the fluorescence properties, the sources, and environmental significance of particulate organic matter (POM) from the overlying water in Lake Taihu in summer. Differences in fluorescence characteristics between POM and DOM(dissolved organic matter), and that in POM between the grass lake and the algal lake were further examined. There are five kinds of fluorophores in Lake Taihu: tyrosine-like fluorophores (C1 and C2), humic-like fluorophores (C3 and C4), and tryptophan-like fluorophores (C5), among which significant correlations were found between C1 and C2, C3 and C4, and C5 and two humic-like fluorophores (C4, C3). By comparing with the fluorescence characteristics of DOM from earlier studies, it is found that there are differences in compositions, sources, and correlations with water quality between POM and DOM in Lake Taihu in summer. In summer, the contribution of endogenous inputs to POM is greater than that of exogenous inputs in Lake Taihu because the ranges in the fluorescence indices, FI, BIX, and HIX, are 1.78-2.35, 0.3-2.7, and 0.8-1.1, respectively. Significant correlations have been found between humic-like fluorescent components and TN, TP, Chla, COD, POC, and SS, suggesting that fluorescence analysis can be used as an important method for a semi-quantitative analysis of nutrients. The protein-like components of the algal lake mainly consist of tryptophan and tyrosine, while that of the grass lake mainly contain tyrosine and a few tryptophan. It is worth noting that, the grass lake contains more tyrosine relative to the algal lake (t test, P < 0.01). Significant positive correlations between the protein-like and the humic-like fluorescence are found in the algal lake, while it is not significant in the grass lake. Significant positive correlations are found between the fluorescent components (protein-like and humic-like) and chlorophyll-a in the algal lake, while the correlation was only found between humic-like components and chlorophylla in the grass lake.

Key words: three-dimensional excitation-emission matrix fluorescence spectra (EEMs); parallel factor analysis (PARAFAC); particulate organic matter (POM); fluorescent characteristics; eutrophication

收稿日期: 2017-09-29; 修订日期: 2017-11-03

基金项目: 国家自然科学基金项目(41301544); 中国博士后科学基金项目(2015M571831); 岩溶动力学重点实验室基金项目(KDL201506); 山东省自然科学基金项目(ZR2012DQ003)

作者简介: 吕伟伟(1990~), 女, 硕士研究生, 主要研究方向为水体天然有机质运移规律, E-mail: 1150948432@ qq. com

^{*} 通信作者,E-mail;yaoxin@lcu.edu.cn

太湖是我国第三大淡水湖泊,也是一个大型的富营养化浅水湖泊,近 20 年来流域和周围城市大量氮、磷营养盐输入导致太湖面临着严重的湖泊富营养化和频繁的蓝藻水华暴发. 太湖复杂的河网水系,草、藻型等不同的生态类型,夏季频繁的蓝藻水华以及强烈的风浪扰动引起的沉积物再悬浮等,使得水体中天然有机质(organic matter, OM)的分布、来源、组成和变化极为复杂[1]. 水体中的 OM一般可分为两个主要的库——溶解态有机质(dissolved organic matter, DOM)和颗粒态有机质(particulate organic matter, POM),通常将能通过0.45 μm 或 0.75 μm 玻璃纤维滤膜的有机质定义为溶解态,其余的为颗粒态.

由于天然有机质的重要性及其化学组成、结构 和来源的复杂性,一直是国际生物地球化学领域的 研究热点和难点之一[1]. 国际上较多的研究主要集 中在 DOM 相关的工作,相对而言, POM 方面的工 作开展得较少. 但作为水体中有机质分解与营养盐 再生的核心载体之一, POM 是一个潜在的可以被生 物利用的重要营养源^[2]. 例如 POM 的一个重要组 成部分——有机聚集体(organic aggregates, OA), 除含有丰富的有机质外, 其他各种营养元素也都比 周围水体高2~3个数量级,被称为是水体中的"微 型营养斑块"[3]. POM 作为自然水体中最具生物活 性的颗粒态有机质, 在水体物质循环过程中起着重 要作用, 在近几年已经逐渐成为水生生态系统研究 中的一个热点.例如, Kendall等[4]运用碳氮同位素 的方法分析了美国四大水系 POM 来源的时空变化; Bardhan 等[5]研究了西印度水库中 POM 同位素的 组成,并分析了其对生物地球化学过程的影响;曾 庆飞等[6]运用稳定同位素技术研究了颗粒态有机 物 POM 的来源特征.

目前,学者们较多地运用稳定同位素的方法研究 POM,而对于三维荧光的方法较少涉及. 三维荧光光谱可有效区分有机物的组成成分,且操作简便,不对样品造成二次污染; Osburn 等^[7]在前人的基础上总结了 POM-DOM PARAFAC 三维荧光模型,可以同时对 POM 和 DOM 两种形态的荧光组分进行解译,为研究湖泊水体中 OM 特征及其来源提供了新的可能. 故本研究首次运用三维荧光技术(three-dimensional excitation-emission matrix fluorescence spectra, EEMs)结合平行因子分析法(parallel factor analysis, PARAFAC)对太湖水体 POM 的荧光特征及其与各水质参数之间的关系进行分析,以期为深

刻认识富营养化浅水湖泊中颗粒态有机质的生物地球化学循环和与藻华暴发之间的因果关系提供科学依据.

1 材料与方法

1.1 样品采集与预处理

于2014年8月26~28日,在太湖的8个典型区域(竺山湾、梅梁湾、贡湖湾、胥口湾、东太湖、湖心区、西湖区和南太湖)进行了采样,共采集32个样品(图1),采样点位同中科院太湖生态系统研究站的常规监测点位,南、北部湖区参照Zhou等^[8]的方法进行分区,北部湖区夏季易暴发蓝藻水华即藻型湖区,南部湖区为沉水植物覆盖即草型湖区.采集5L水样并置于保温箱中用冰块保存确保低温,所有采样瓶事先均用10%HCl溶液浸泡、去离子水清洗及现场水润洗,并于采样结束后直接送至中国科学院南京地理与湖泊研究所实验室放入冰箱内冷藏、冷冻保存.水体温度、水深、浊度等物理指标均在采样现场测定.POC浓度(mg·L⁻¹)及POM 三维荧光光谱分析均在采样结束后2~3d内分析完成.

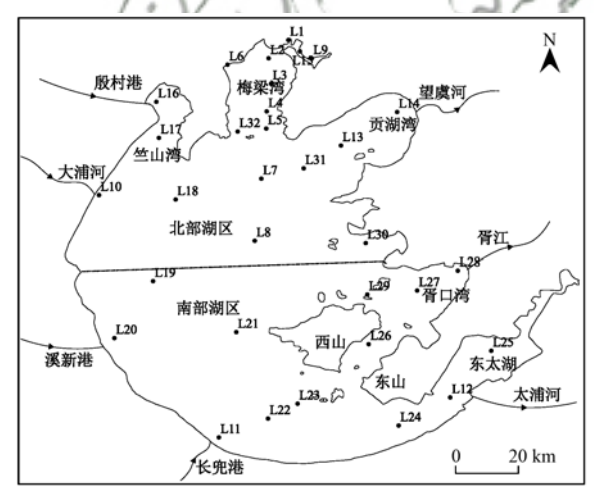


图 1 太湖水体采样点分布示意

Fig. 1 Distribution of the sampling sites in Lake Taihu

1.2 样品的测定

1.2.1 POM 三维荧光光谱分析

共采集 5 L 水样,根据水的浑浊程度取 100~1 000 mL水样过滤到事先经 450℃ 灼烧并称重的 GF/F 滤膜上,GF/F 滤膜用 10 mL 0.1 mol·L⁻¹的 NaOH 黑暗条件下振荡 24 h,用 HCl 中和后调至 pH 值 >6,经 0.2 μ m 的微孔膜过滤后的滤液用于测定 POM 的三维荧光,测定方法参照 Osburn^[7]的 POM 测定方法进行.

三维荧光光谱采用日立 F-7000 FL 分光光度计

测定,激发和发射夹缝宽度为5 nm,激发波长为 200~450 nm, 间隔为5 nm, 发射波长 250~600 nm, 以 1 nm 间隔得到荧光光谱, 减去加酸中和过 后的 NaOH 三维荧光光谱以校正水的拉曼散射,同 时利用 0.01 mg·L-1硫酸奎宁进行荧光定标,并用 吸光度校正三维荧光光谱的内滤效应[9].

1.2.2 POM 三维荧光光谱的平行因子分析法 (PARAFAC)

EEM 是通过波谱形状或波峰数量进行组分个 数和类别的假定, 而 PARAFAC 法是通过数学统计 的方法把 OM 复杂的荧光数据矩阵分离出不同的组 分,将所有点位的整个三维荧光数据组分解成3个 线性项和1个残留数组,它是基于三线性理论的一 种方法[10]. PARAFAC 法计算过程可以称为交替最 小二乘(ALS)算法:

$$x_{ijk} = \sum_{f=1}^{F} a_{if} b_{jf} c_{kf} + e_{ijk}$$

 $i = 1, 2, \dots, I; j = 1, 2, \dots, J; k = 1, 2, \dots, K$ 式中, X_{ii} 是第 i 个样点再激发波长为 k、发射波长 为j处的荧光强度; a_{ii} 是第i个样点的第f次分析的

含量; b_{ii} 和 c_{ki} 分别是与第 f 次分析后激发波长为 j、 发射波长为 k 光谱的线性相关. e_{ik} 为系统残差, 是 不受模型控制的变量. F 为模型中选择的组分因子 数量.

本研究在 MATLAB 中使用 DOMFluor 工具箱运 行 PARAFAC 法模型对样点的三维荧光数据进行 分析.

1.2.3 其他水质参数的测定

经高温(450℃)灼烧后的 GF/F 滤膜过滤水样, 留在滤膜上的颗粒物质经过冷冻干燥后称重,减去 原始滤膜重量,即为 POM 的重量;将冻干后的滤膜 用研钵磨碎后送至 EA 3000 的元素分析仪测定 POC 浓度 (mg·L⁻¹). 叶绿素 a (Chla)、化学需氧量 COD、总氮 TN、总磷 TP、悬浮质 SS 等水质参数数 据均来源于中国科学院太湖生态系统研究站,测定 方法参照文献[11].

1.2.4 荧光指数

本研究中使用荧光指数(FI、BIX、HIX)来研究 和表征物质的来源及不同来源对 POM 荧光强度的 相对贡献率,相关荧光参数如表1所示.

	Table 1 Description of	the fluorescence index	1
荧光指数	定义	特征描述	
FI (fluorescence index,荧光指数)	$E_{\rm x}$ = 370 nm, $E_{\rm m}$ 为 450 nm 与 500 nm 处的荧光强度比值	陆源和生物来源的f _{450/500} 值分别为1.4和1.9 ^[12,13]	
BIX (autochthonous index,生物源指数)	$E_{\rm x}$ = 310 nm, $E_{\rm m}$ 为 380 nm 与 500 nm 的荧光强度比值	0.6 < BIX < 0.7,具有较少的自生成分; $0.7 < BIX < 0.8$,具有中度新近自生源特征; $0.8 < BIX < 1.0$,具有较强自生源特征; $BIX > 1.0$,为生物细菌活动产生 $[14]$	
HIX (humification index,腐殖化指数)	$E_{\rm x}$ = 254 nm, $E_{\rm m}$ 为 435 ~ 480 nm 的峰值面积比上 300 ~ 345 nm 的 荧光峰值面积	HIX <4,表示以自生源为主;4 < HIX <6,属于较弱腐殖质特征和较强自生源特征;HIX >6,属于强腐殖质特征,陆源贡献较大 ^[15]	

1.3 绘图及数据处理

采用 ArcGIS 10.2 软件绘制参数空间分布图与 采样点分布,均值、标准差以及相关性等采用 SPSS 21.0 软件分析. 相关分析用来检测变量之间的关 系; P>0.05 表示未达到显著检验水平, 0.01 < P < 0.05 为显著水平, P < 0.01 为极显著水平.

2 结果与分析

2.1 太湖水体及颗粒物基本化学性质的分布特征 此次调查的 TN 和 TP 的浓度分别在 0.82~ 4. 14 mg·L⁻¹和 0. 02~0. 34 mg·L⁻¹之间变化, 平均 值分别为(1.74 ± 0.15) mg·L⁻¹和(0.12 ± 0.02) mg·L-1. TN 的高值主要分布在竺山湾, 低值出现 在东太湖,大致表现出由竺山湾向东太湖递减的 趋势[图 2(a)]. TP 呈现和 TN 相似的空间分布特 征[图 2(b)]. 与夏季的东平湖、洪湖、东湖和梁 子湖相比[16,17], 太湖 Chla 的空间分布表现出更大 的空间异质性;均值为(48.0±7.97) mg·L⁻¹,浓 度范围为 4.3~156.2 mg·L⁻¹; 最小值出现在东 太湖,最大值则出现在竺山湾和梅梁湾区域,大 体呈现竺山湾 > 梅梁湾 > 河口区 > 湖心区 > 东太 湖的趋势[图2(c)]; 王震等[18]报道太湖 Chla 北 部和西北部最高, 东部和南部最低. COD 均值为 (4.64±0.30) mg·L⁻¹, 取值范围为 2.67~8.26 mg·L⁻¹,与Chla具有相似的空间分布特征,总体 趋势是北部大于南部, 西部大于东部[图 2(d)], Yao 等[1] 在太湖 COD 分析中也获得了类似的 结论.

POC 浓度范围为 0. 91~19. 17 mg·L⁻¹,均值为 (4. 92±0. 94) mg·L⁻¹,空间差异比较明显,高值出现在西太湖,低值主要分布在东太湖,大体呈现从西太湖向北向东递减的趋势[图 2(e)],姜广甲等^[19]认为太湖西部水域的 POC 浓度高于其他水

域. SS 均值为(34.31 ± 2.98) $mg \cdot L^{-1}$, 浓度范围为 11.08~85.40 $mg \cdot L^{-1}$, 高值分布在南太湖, 低值出现在东太湖, 呈现从南太湖和梅梁湾向湖心区和东太湖递减的趋势[图 2(f)], 这与孔繁翔等^[20]在太湖的悬浮物分析结果一致.

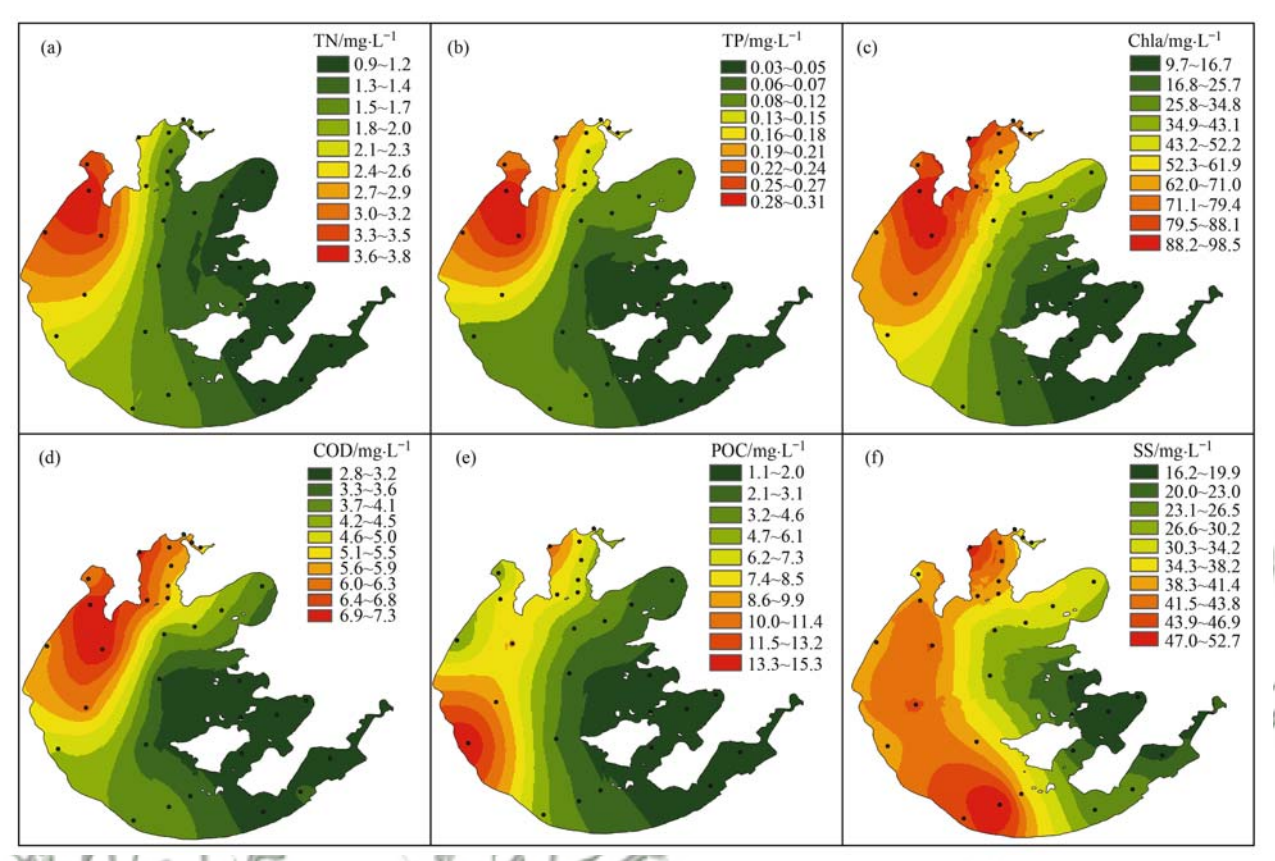


图 2 太湖夏季各理化因子的空间分布

Fig. 2 Spatial distribution of water quality parameters in Lake Taihu in summer

2.2 太湖 POM 荧光组分

将 2014 年 8 月的 32 个 POM 三维荧光样品全部放入 PARAFAC 模型中进行计算,一共得到 5 种荧光组分(C1~C5). 太湖 POM 样品平行因子分析 PARAFAC 所得 5 个组分模型对所有 EEMs 数据信息的解释率可达 99.6%以上,并能很好地通过对半分析检验(图 3). 这五种荧光组分的光谱特征与文献报道的其他水生环境中得到的荧光组分很相似[21-26],各组分的主要特征和荧光类型见表 2. 由图 3 和表 2 可知,组分 C1 和 C2 均为类色氨酸物质,对应的是传统意义上的 T 峰,这类组分反映的是生物降解来源形成的荧光峰值,主要由微生物和浮游植物的作用所产生,也受到生活污水和工业废水等外源输入所携带的微生物影响;组分 C3 反映的是海源性类富里酸 M 峰,可能来源于微生物及水中藻类降解或人类活动产生的氧化的类腐殖质物

质;组分 C4 被认为是外源输入的腐殖酸和富里酸形成的荧光峰值,对应的是 A 峰和 C 峰,与类富里酸荧光和腐殖质结构中的羟基及羧基有关;组分 C5 为生物降解来源的类酪氨酸 D 峰,与芳环氨基酸结构有关.

太湖 POM 总荧光强度在 2.32~11.87 之间, 平均值为 5.04±0.41,整体上呈由梅梁湾向整个太湖递减的趋势(图 4). 其中,类蛋白荧光 C1、C2 荧光强度及其贡献率分别为 0.04±0.02、0.01±0.03 和 0.57%、0.08%,最高比重出现在梅梁湾;类腐殖质荧光 C3、C4 荧光强度及其贡献率分别为 0.38±0.38、1.28±0.25 和 6.71%、20.90%,高值占比集中在太湖西、北部及南部河流入湖口地区;类蛋白荧光 C5 荧光强度及其贡献率为 3.38±0.14 和 71.73%,最高比重出现在东太湖.

由图 4 可见, 组分 C1 由藻型湖泊梅梁湾向湖

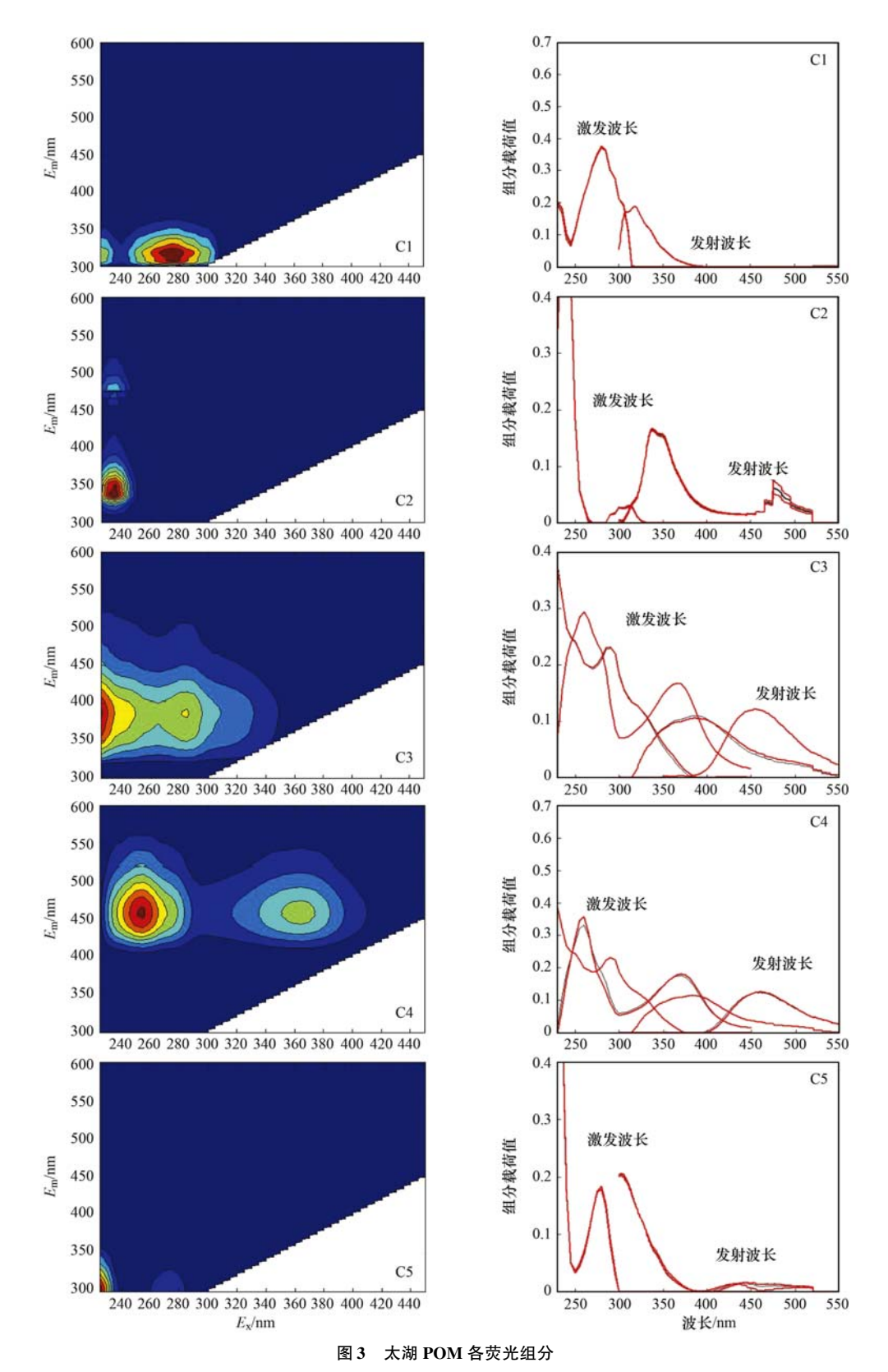


Fig. 3 Spectral shapes of the five components identified by PARAFAC

心区和东太湖表现出明显的浓度梯度递减;研究表明,浮游植物降解是太湖藻型湖区内源自生 OM 的重要来源之一^[27];富营养化水体中存在大量的浮

游植物,而浮游植物量的多少常以 Chla 的浓度反映^[28]. 相关性分析发现(表3), C1 和 Chla 具有显著相关性;因此,C1可以确定为内源输入;江俊武

表 2	太湖颗粒态有机物	5 种荧光组分特征

Table 2	Fluorescence	feature of	the five	fluorescent	components	of POM i	n Taihu Lake

组分	$E_{\rm x}/E_{\rm m}$	其他文献对应组分 $E_{\rm x}/E_{\rm m}$	性质描述
C1	275 < 225/318	275/318 ^[21] ; 280/318 ^[22] ; 275/306(338) ^[23]	类蛋白质荧光团,主要为类色氨酸基团
C2	235/338(476)	$<250/370^{[24]}; 250/356^{[25]}; 240(300)/338^{[21]}$	类蛋白质荧光团, 主要为类色氨酸基团
C3	<225(285)/385	$<250(310)/416^{[25]};325(<260)/385^{[23]};310/414^{[22]}$	短波陆源腐殖质或海洋类腐殖质
C4	255 (365)/455	<260(355)/434[22]; <260/458[23]; <250(355)/474[26]	短波类腐殖质,大分子量的富里酸, A 峰和 C 峰
C5	<225(275)/302	$275/310^{[22]}$; $275/304^{[26]}$; $270/299^{[23]}$	类蛋白质荧光团, 主要为类酪氨酸基团

等^[29]研究表明类蛋白组分与 Chla 的相关性相对于 类腐殖质组分要更显著,并推断夏季太湖各水质参数受自生源影响更加显著.组分 C1 和 C2 呈极显著 正相关,说明内源输入的 C1 与 C2 组成基本相似,具有较强的同源性,进而表明 C2 的内源性.组分 C4 由北部、西部、南部的入湖河口区向东太湖发生浓度梯度递减,表现出外源特性.相关性分析显示 C3 和具有外源特性的 C4 具有极显著相关性,表现 为外源输入.由图 4 还发现,组分 C5 由东太湖和湖心区向西向北发生浓度梯度递减,表现出内源性;同时相关性分析显示 C5 与 C4 具有极显著相关性,表现出外源性;由此可见 C5 既与陆源类腐殖质荧光组分有关,也与内源类蛋白荧光物质有关,这一结果与 Zhang 等^[27]在浮游植物降解实验中得出的结果也比较一致.

太湖草、藻型湖区的 POM 均以类蛋白荧光物质为主要成分,但在类蛋白组分构成上存在差别(图4).藻型湖区 POM 类蛋白物质主要由类色氨酸和类酪氨酸构成;而草型湖区以类酪氨酸为主,没有或者有极少的类色氨酸荧光组分,姚昕等^[30]在研究太湖草、藻来源溶解性有机质中也获得类似的结论.值得注意的是,与藻型湖区相比,草型湖

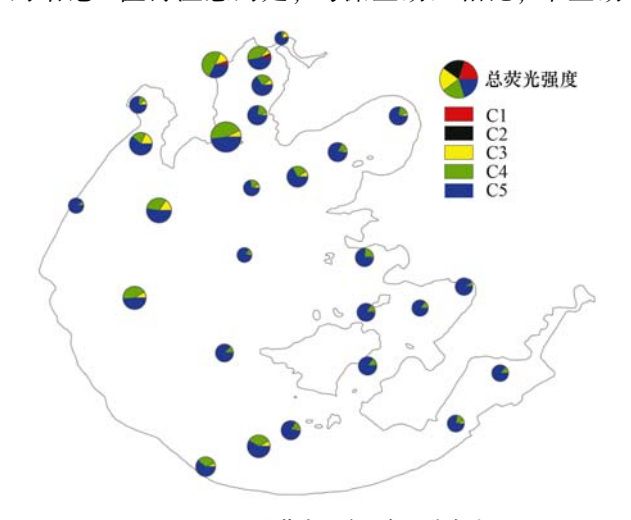


图 4 POM 总荧光强度及各组分占比

Fig. 4 Total fluorescence intensity and specific gravity of each component of POM

区含有较多的类酪氨酸荧光组分(t 检验, P < 0.01).

2.3 相关荧光指数分析

荧光指数(FI、BIX、HIX)通常用来研究和表征 物质的来源及不同来源对 POM 荧光强度的相对贡 献率. 本研究中, 太湖 FI 值为 1.78~2.35(图 5), 平均值为 1.9 ± 0.02, 接近生物来源 FI 值(表 1), 这表明太湖夏季 POM 受内源贡献较大. 太湖水体 BIX 指数在 0.8~1.1 之间(图 6), 平均为 1.0 ± 0.01, 说明各采样点整体处于较强的自生源特征, 尤其是湖心区, 平均值达到 1.1. 太湖水体 HIX 值 在0.3~2.7之间(图5), 平均值为0.7±0.1, 说明 太湖 POM 整体处于弱腐殖质特征, 且以自生源为 主. 相比之下, 入湖河流的河口区(大浦河和长兜 港采样点), FI 和 BIX 相对较小, HIX 相对较大, 趋近陆源特征,表明河口区受陆源输入影响相对显 著一些. 综上所述, 3 种荧光指数对表征 POM 来源 均具有良好的指示性,都显示出夏季太湖水体 POM 以自生源为主;曾庆飞等[6]使用稳定同位素方法也 证实太湖水体中 0.7~120 µm 粒径间的 POM 主要 为内源藻类贡献.

2.4 荧光组分与各水质参数之间的关系

如表 3 所示,分别建立太湖荧光组分与各水质 参数之间的相关关系,以分析POM荧光组分与各

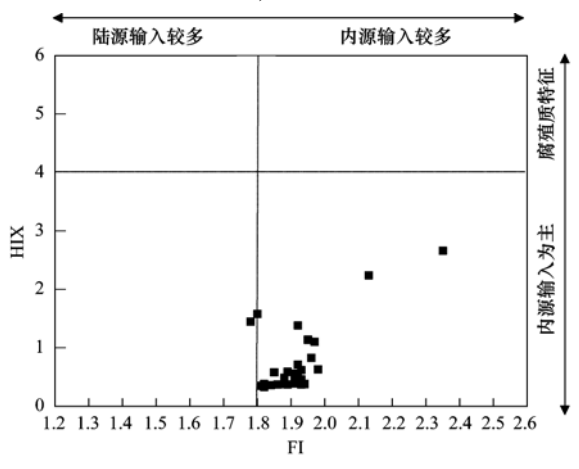


图 5 太湖 POM 样本的 FI-HIX 分布

Fig. 5 FI-HIX distributions of POM in Lake Taihu

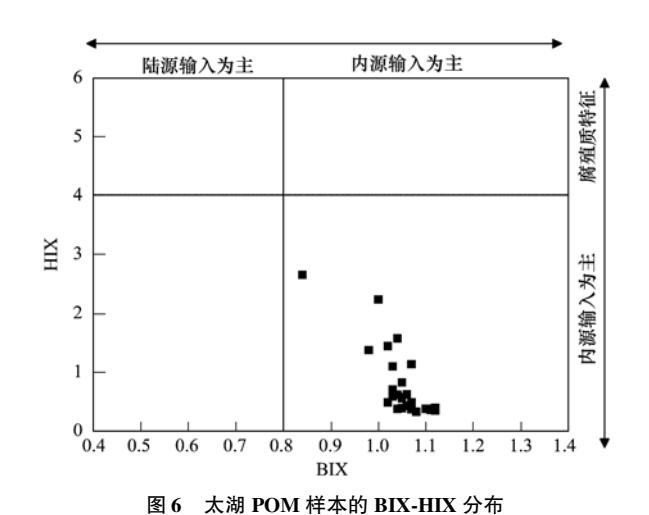


Fig. 6 BIX-HIX distributions of POM in Lake Taihu

水质参数之间的关系. 相关分析显示, 荧光组分 C3、C4、C5与TN、TP具有相关关系,表明POM与 N、P元素的迁移转化过程密切相关. 组分 C3、C4、 C5与COD均具有极好的相关性,证实了荧光强度 的分布情况一定程度上可以反映水体中有机物的分 布,季乃云[31]在研究大沽河到胶州湾的 DOM 荧光 特征变化时也获得了类似的结论. 组分 C1、C3、 C4、C5 与 POC 均具有极显著相关性, 这表明类蛋 白和类腐殖质是太湖 POC 的重要组成部分, 荧光 强度可以作为一个反映水体中 POC 含量的有效参 数,这与方芳等[28]在三峡水库小江回水区溶解性 有机物三维荧光光谱分析结果一致.

为了进一步了解草、藻型湖区POM空间差异

表 3 POM 组分及各营养盐的相关分析1)

Table 3 Correlation analysis of POM components and nutrients												
		C1	C2	C3	C4	C5	TN	TP	Chla	COD	POC	SS
	C1	1							0		1	m P
	C2	0. 50 **	1					^	11		5	10
	C3	0. 52 **	0.06	1	0			1 2	1.1.1		1	-
	C4	0. 55 **	0. 24	0. 86 **	15			15	101		//	7
	C5	0. 19	-0.02	0. 70 **	0. 80 **	1		18	1 //			11
全太湖	TN	0. 22	0.02	0. 66 **	0. 40 *	0.32	1	1.1	~ 1	\	13.	///
	TP	0.39	0. 14	0. 80 **	0. 55 **	0. 46 *	0. 92 **	/_I V	0)	April 1	2)
	Chla	0. 48 *	0.17	0. 93/**	0.72**//	0. 57 **	0. 75 **	0. 89 **	n i b	gr.		70
1 6	COD	0. 43 *	0. 21	0. 88 **	0. 72 **_	0. 60 **	0. 80 **	0. 94 **	0. 93 **	1	~	
2	POC	0. 66 **	0. 23	0. 94 **	0. 83 **	0.60 **	0. 64 **	0. 82 **	0. 95 **	0. 91 **	1	3 5
- 1 2	SS	0. 36	0.06	0. 61 **	0. 51 **	0. 39 *	0. 47 *	0. 56 **	0. 60 **	0. 66 **	0. 63 **	IN
10	C1 C2	1 0. 48	1	1 V /)"/	1	1	m /2	1	}		8
RV	C3	0. 51 *	0. 07	1	1.5	12		47	\ \	å.		
-7	C4	0. 57 *	0. 26	0. 84 **	9							
(0/	C5	0. 17	0. 21	0. 72 **	0. 80 **	1						
藻型湖区	TN	0. 15	-0.04	0. 60 *	0. 26	0. 22	1					
48	TP	0.30	0.07	0. 75 **	0.46	0.44	0. 92 **	1				
	Chla	0.48	0. 13	0. 92 **	0. 66 **	0.56*	0. 68 **	0. 87 **	1			
	COD	0.40	0.17	0. 90 **	0. 67 **	0. 64 **	0. 75 *	0. 93 **	0. 92 **	1		
	POC	0. 70 **	0. 21	0. 91 **	0. 80 **	0.62*	0. 53 *	0. 76 *	0. 93 **	0. 89 **	1	
	SS	0. 54 *	0.06	0. 74 **	0. 57 *	0.48	0.45	0.72 *	0. 80 **	0. 84 **	0. 85 **	1
	C1	1										
	C2	_	1									
	C3	0.02	_	1								
	C4	0.07	_	0. 99 **	1							
	C5	-0.22	_	0.58	0.60	1						
草型湖区	TN	0.18	_	0. 94 **	0. 94 **	0.64*	1					
	TP	0. 26	_	0. 96 **	0. 97 **	0.55	0. 97 **	1				
	Chla	0.18	_	0. 95 **	0. 97 **	0.54	0. 92 **	0. 97 **	1			
	COD	0. 13	_	0. 98 **	0. 98 **	0.46	0. 92 **	0. 97 **	0. 97 **	1		
	POC	0. 26	_	0. 94 **	0. 96 **	0.53	0. 93 **	0. 98 **	0. 99 **	0. 96 **	1	
	SS	0. 10	_	0.61*	0. 57	0.31	0.70 *	0.62 *	0.45	0.60	0.45	1

^{1)*}表示 P<0.05; **表示 P<0.01

的动力机制,分别对草、藻型湖区 POM 荧光组分及 各水质参数进行相关分析,结果见表3. 从中可见, 藻型湖区 C1、C5 与 C3、C4 均具有显著相关性, 宋 晓娜等[32]对太湖 DOM 各类荧光强度进行了相关性 分析,发现类蛋白组分与类腐殖质组分之间存在显著相关关系;而草型湖区类蛋白与类腐殖质荧光之间不存在相关性. 藻型湖区 Chla 与 C3、C4、C5 均具有显著相关关系,江俊武等^[29] 也发现类蛋白和类腐殖质荧光均与 Chla 存在相关性;而草型湖区 Chla 仅与 C3、C4 具有极好的相关性,这与王书航等^[33] 在蠡湖的研究结果类似. 结果还发现,草、藻型湖区 POM 各荧光组分与 TN、TP、COD、POC 及 SS 等水质参数之间均具有显著相关关系.

3 讨论

3.1 太湖 POM 荧光组分特征及与 DOM 荧光特征 的差异性分析

通过与已有研究中的结果进行比对发现, 夏季太湖 POM 荧光组分主要有 5 类, 分别是类色氨酸 荧光组分 C1 和 C2, 类腐殖质荧光组分 C3 和 C4, 类酪氨酸荧光组分 C5. 其中, 荧光组分 C1 与 C2 具有极显著相关性, 组分 C3 与 C4 亦有极好的相关关系, 这意味着类蛋白组分 C1 和 C2 以及类腐殖质组分 C3 和 C4 两两来源相似; 组分 C5 与类腐殖质荧光具有极好的相关关系, 说明 C5 同时具有内源和外源双重特性.

POM 和 DOM 两种 OM 均由类蛋白物质和类腐 殖质物质组成[7],但两类组成物质的贡献率却不尽 相同. 近年来有大量研究对太湖 DOM 的荧光组分 特征做了调查分析[32~35],其类蛋白荧光和类腐殖 质荧光所占比重大多分布在34.2%~66%和34% ~65.8%之间; 而本研究中, POM 类蛋白荧光(C1、 C2 和 C5) 和类腐殖质荧光(C3 和 C4) 所占比重均 值分别为72.27% ±3.34%和27.61% ±2.87%;其 中, POM 类蛋白荧光所占比重明显高于太湖 DOM 中类蛋白荧光所占比重,表明太湖 POM 表现出较 强的类蛋白荧光组分特征, 其生物可利用性也高于 DOM. 已有研究表明 POM 表面附着大量的异养微 生物,且存在完整的降解有机质的胞外酶系统,其 数量及活性均高出周围水体几个数量级以上, 使得 POM 比周围水体有更高的细菌降解速率[36,37]. POM 通过光化学降解、酶解以及细菌降解等生物和 非生物因素转化为更具生物可利用性的溶解态有机 质以及无机营养盐,进而参与到湖泊生物地球化学 循环过程中[38,39].

一般来讲,自然条件下湖体中的有机质可简单 分为内源和外源2类,内源有机质与湖体生物活动 关系密切,主要来源于湖体微生物或藻类分解,而 外源有机质则来源于陆地土壤和动植物有机质的残体,而这两种来源对 POM 和 DOM 的贡献程度是有差异的. 近年来已有大量研究对夏季太湖 DOM 来源做了分析^[29,32],大多认为夏季太湖 DOM 以外源输入为主,尤其竺山湾和西部湖区外源贡献更为显著. 而本研究荧光指数 FI、BIX 和 HIX 的取值范围分别在 1.78~2.35、0.8~1.1 和 0.3~2.7 之间,表明夏季太湖 POM 以自生源为主. 研究表明,内源OM 比外源 OM 的碳氮比值高,更加富含碳水化合物,也更容易被降解从而参与到微食物网能量传递过程中,对总初级生产力的贡献较大^[40]. 因此,湖泊内源自生 POM 的迁移转化以及伴随的营养物质再生应该是蓝藻水华暴发期间营养盐快速供给的主要"生力军".

除组分构成和来源差异外, POM 与 DOM 的差 异还表现在荧光组分和水化因子的相关性上. 本研 究中, 藻型湖区 POM 类蛋白和类腐殖质荧光强度 之间呈显著相关性, 而草型湖区两类荧光相关性不 显著,这说明藻型湖区 POM 中的类蛋白物质和类 腐殖质物质在组成上和来源上具有某种联系, 而草 型湖区两类物质在组成和来源上不尽相同;相关分 析还发现, POM 与 TN、TP、Chla、COD、POC、SS 等颗粒态水化因子之间存在显著相关关系. 目前, 关于 DOM 荧光组分和水质参数的关系已有一些报 道,宋晓娜等[32]的研究表明,太湖表层及底层水体 4 类峰强度之间均呈显著正相关, 说明 DOM 中的 类蛋白物质与类富里酸物质在组成上和来源上具有 某种联系;另外,4类峰强度与TN、TP、NO3、 NH₄ 等营养盐呈显著正相关关系,说明 DOM 与 N、 P元素的迁移转化行为紧密相连. 江俊武等[29]利用 相关性分析和主成分分析法对各参数指标研究发 现,各荧光组分之间存在极显著的相关性,在来源 上具有相似性;同时还发现,除 DOC 外, DOM 与 TN、TP、Chla、TSS 之间相关性均较为显著. 揭示 了 DOM 与 N、P 等元素的迁移转化行为密切相关.

总体来说,夏季太湖水体 POM 与 DOM 在组分构成、来源及其与水质参数的关系上均存在着差异,但由于 POM 和 DOM 组成、来源的复杂性,两者之间具体的差异还需进一步野外调查和室内实验研究进行验证.

3.2 太湖水体 POM 的来源分析

荧光值的大小大致能反映水体的污染程度^[40],那么荧光峰强度的区域分布差异也可以反映 POM 在不同湖区的来源差异^[31].结合太湖的情况和图 4

中各类荧光强度分布特征,也可以说明太湖 POM 来源的区域差异性. 例如, 竺山湾水域分别分布有 较多的代表内源输入的类色氨酸组分 C1、陆源类 腐殖质荧光组分 C3 和 C4, 表明其 POM 来源比较 复杂,同时具有陆源和内源两种特征.结合太湖本 身及周边情况,一方面,竺山湾属于典型的藻型湖 泊,微生物活动比较活跃,藻类死亡分解后会产生 大量的类蛋白物质[31],成为 POM 的主要内源, 竺 山湾 Chla 浓度在全太湖表现为最高(图 2)以及类 蛋白组分 C1 与 Chla 具有显著相关性(表3)均证实 了这一点;另一方面, 竺山湾接纳了武进、宜兴市 的污水,在常州市武进区与宜兴市交界的漕桥河是 竺山湾的主要入湖河流,而这一带化工、印染产业 密集,河水污染严重,河流携带大量的城市陆源 POM 进入湾内[41], 这些陆源输入是竺山湾湖区重 要的外源 POM, 也是导致竺山湾类腐殖质荧光强度 在全太湖表现为最高的重要原因. 河口区(大浦河) 主要分布有陆源类腐殖质荧光组分 C4. 说明河口 区 POM 表现出外源性;大浦河是太湖的主要入湖 河流之一,位于工业排放密集的宜兴市附近,导致 携带大量 POM 的工业废水和生活污水进入太湖. 虽然太湖 POM 来源具有陆源及内源的双重特性, 但这两种来源对 POM 的贡献程度是有区别的. 通 过对荧光指数(FI、BIX、HIX)的分析研究结果表 明, 太湖夏季 POM 主要受内源贡献. 综上所述, 太 湖夏季 POM 的来源既有外源输入, 也有内源输入; 但相对于外界水源补给等的外源输入, 浮游植物等 的内源释放对 POM 荧光物质的贡献更大.

3.3 荧光组分与各水质参数之间的关系

根据表 3 可以看出,荧光组分 C3、C4、C5 与TN、TP 均具有极显著相关性,表明 POM 与 N、P 元素的迁移转化过程密切相关,可通过光降解或微生物降解过程释放出氮、磷等浮游植物或细菌可直接吸收利用的营养要素. 很多研究者致力于探讨荧光与溶解有机碳(DOC)含量的相关性,并试图通过荧光来反演 DOC 的含量[19],而荧光与 POC 相关性的研究较少涉及;本研究中类腐殖质荧光 C3、C4 与POC 具有极好的相关性,这表明类腐殖质荧光物质是太湖 POC 的重要组成部分,类腐殖质荧光强度可以作为一个反映水体中 POC 含量的有效参数. COD 是反映水中可被氧化剂氧化的有机物含量的指标[30];类腐殖质荧光强度与 COD 存在显著相关性,这说明类腐殖质荧光强度在一定程度上也可以反映被氧化的有机物含量;方芳等[28] 在研究三峡

水库小江回水区溶解性有机物的三维荧光光谱特征 时,也获得了类似的结论.综上所述,可以看出类 腐殖质荧光组分与湖区各营养盐浓度均呈显著相关 性,表明陆源类腐殖质荧光强度对各营养盐具有较 好的指示意义,可以作为表征营养盐浓度高低的指 标,故荧光分析法可以作为营养盐半定量分析的一 个重要手段.

本研究调查结果显示,草、藻型湖区 POM 各荧 光峰之间的相关性存在一定的差异性,藻型湖区 POM类蛋白和类腐殖质荧光强度之间呈显著相关 性, 而草型湖区两者相关性不显著, 这说明藻型湖 区POM中的类蛋白物质和类腐殖质物质在组成上 和来源上具有某种联系, 而草型湖区 POM 两者在 组成和来源上不尽相同. 相关分析还发现, 草、藻 型湖区 POM 各荧光组分与 Chla 的关系也存在差异 性. 有关类蛋白和类腐殖质荧光与 Chla 的关系已 有一些报道,且说法不一. 江俊武等[29]发现类蛋白 荧光与 Chla 存在显著相关关系, 但方芳等[28] 报道 类蛋白荧光与 Chla 的相关性比较差; 王书航等[33] 认为类腐殖质荧光与 Chla 呈显著正相关关系, 而 季乃云等[31]对大沽河-胶州湾段的研究表明, 高的 类腐殖质荧光强度不一定对应着高的 Chla 含量. 本研究中,草、藻型湖区 POM 类蛋白和类腐殖质炭 光与 Chla 之间的关系不尽相同,藻型湖区 POM 类 蛋白和类腐殖质荧光均与 Chla 存在显著相关关系, 而草型湖区 POM 仅类腐殖质荧光与 Chla 具有显著 相关关系:这说明浮游植物是藻型湖区 POM 类蛋 白和类腐殖质荧光的来源之一, 而草型湖区 POM 类腐殖质荧光与 Chla 的相关关系也进一步证实了 浮游植物原位降解产生的有机物中包含类腐殖质荧 $\mathcal{H}^{[30]}$. 草、藻型湖区 POM 各荧光组分与 TN、TP、 COD、POC 及 SS 等水质参数之间均具有显著相关 关系, 说明 POM 与水质参数来源上的相似性, 同时 也揭示了 POM 及其荧光组分与 N、P 等元素的迁 移、转化行为紧密相连.

4 结论

(1) 夏季太湖水体 POM 荧光组分主要包括类色氨酸荧光组分(C1 和 C2),类腐殖质荧光组分(C3 和 C4),类酪氨酸荧光组分(C5);其中,C1 与C2、C3 与 C4 两两具有极显著相关关系,表明 C1 与 C2、C3 与 C4 两两来源相似;C5 与 C3、C4 也具有极好的相关性,说明 C5 同时具有内源和外源双重特性;通过与已有文献中的 DOM 荧光特征进行

比对发现,夏季太湖 POM 与 DOM 在组分构成、来源及其与水质参数的相关性上均存在差异性.

- (2) 综合夏季太湖水体 POM 荧光组分、强度、荧光指数,及其与各水质参数的相关性分析可知,夏季太湖 POM 既有外源输入,也有内源输入,且内源输入的贡献大于外源输入.类腐殖质荧光组分与 TN、TP、Chla、COD、POC、SS 均呈显著相关性,表明陆源类腐殖质荧光强度对各营养盐具有较好的指示意义,可以作为表征营养盐浓度高低的指标,故荧光分析法可以作为营养盐半定量分析的一个重要手段.
- (3) 藻型湖区 POM 类蛋白物质主要由类色氨酸荧光组分和类酪氨酸荧光组分构成,而草型湖区以类酪氨酸为主,没有或者有极少的类色氨酸荧光组分;值得注意的是,与藻型湖区相比,草型湖区含有较多的类酪氨酸荧光组分(t检验,P<0.01).藻型湖区 POM 类蛋白和类腐殖质荧光之间具有显著相关关系,而草型湖区两者相关性不显著;藻型湖区 POM 类蛋白和类腐殖质荧光均与 Chla 存在显著相关关系,而草型湖区 POM 仅类腐殖质荧光与Chla 具有显著相关关系.

参考文献:

- [1] Yao X, Zhang Y L, Zhu G W, et al. Resolving the variability of CDOM fluorescence to differentiate the sources and fate of DOM in Lake Taihu and its tributaries [J]. Chemosphere, 2011, 82 (2): 145-155.
- [2] 吴丰昌, 王立英, 黎文,等. 天然有机质及其在地表环境中的重要性[J]. 湖泊科学, 2008, **20**(1): 1-12. Wu F C, Wang L Y, Li W, et al. Natural organic matter and its significance in terrestrial surface environment [J]. Journal of Lake Sciences, 2008, **20**(1): 1-12.
- [3] Simon M, Grossart HP, Schweitzer B, et al. Microbial ecology of organic aggregates in aquatic ecosystems [J]. Aquatic Microbial Ecology, 2002, 28(2): 172-211.
- [4] Kendall C, Silva S R, Kelly V J. Carbon and nitrogen isotopic compositions of particulate organic matter in four large river systems across the United States [J]. Hydrological Processes, 2001, 15(7): 1301-1346.
- [5] Bardhan P, Naqvi S W A, Karapurkar S G, et al. Isotopic composition of nitrate and particulate organic matter in a pristine dam reservoir of western India: implications for biogeochemical processes [J]. Biogeosciences, 2017, 14(4): 767-779.
- [6] 曾庆飞, 孔繁翔, 张恩楼, 等. 利用稳定同位素技术研究外源物质输入对太湖微食物链的贡献[J]. 环境科学, 2007, 28(8): 1670-1674.

 Zeng Q F, Kong F X, Zhang E L, et al. Effects of anthropogenic organic matter inputs on stable carbon and nitrogen isotopes in organisms from microbial food chain in Taihu lake [J].
- [7] Osburn C L, Handsel L T, Mikan M P, et al. Fluorescence tracking of dissolved and particulate organic matter quality in a river-dominated estuary [J]. Environmental Science &

Environmental Science, 2007, 28(8): 1670-1674.

- Technology, 2012, 46(16): 8628-8636.
- [8] Zhou Y Q, Zhang Y L, Shi K, et al. Lake Taihu, a large, shallow and eutrophic aquatic ecosystem in China serves as a sink for chromophoric dissolved organic matter [J]. Journal of Great Lakes Research, 2015, 41(2): 597-606.
- [9] McKnight D M, Boyer E W, Westerhoff P K, et al. Spectrofluorometric characterization of dissolved organic matter for indication of precursor organic material and aromaticity [J]. Limnology and Oceanography, 2011, 46(1): 38-48.
- [10] Yao X, Zhu G W, Cai L L, et al. Geochemical characteristics of amino acids in sediments of Lake Taihu, a large, shallow, eutrophic freshwater lake of China [J]. Aquatic Geochemistry, 2012, 18(3): 263-280.
- [11] 金相灿, 屠清瑛. 湖泊富营养化调查规范[M]. (第二版). 北京: 中国环境科学出版社, 1990.
- [12] Copy R M, Mcknight D M. Fluorescence spectroscopy reveals ubiquitous presence of oxidized and reduced quinones in DOM [J]. Environmental Science and Technology, 2005, 39 (21): 8142-8149.
- [13] Jaffé R, Boyer J N, Lu X, et al. Source characterization of dissolved organic matter in a subtropical mangrove-dominated estuary by fluorescence analysis [J]. Marine Chemistry, 2004, 84(3-4): 195-210.
- [14] Huguet A, Vacher L, Relexans S. Properties of fluorescent dissolved organic matter in the Gironde Estuary [J]. Organic Geochemistry, 2009, 40(6): 706-719.
- [15] Ohno T. Fluorescence inner-filtering correction for determining the humification index of dissolved organic matter [J]. Environmental Science & Technology, 2002, 36(4): 742-746.

[16] 周永强, 张运林, 牛城, 等. 基于 EEMs 及 PARAFAC 的洪

- 湖、泵湖与梁子湖 CDOM 组成特征分析[J]. 光谱学与光谱分析, 2013, 33(12): 3286-3292.

 Zhou Y Q, Zhang Y L, Niu C, et al. Characterizing chromophoric dissolved organic matter (CDOM) in Lake Honghu, Lake Donghu and Lake Liangzihu using excitationemission matrices (EEMs) fluorescence and parallel factor analysis (PARAFAC)[J]. Spectroscopy and Spectral Analysis,
- [17] 刘学利,姚昕,董杰,等. 东平湖可溶性有机物的荧光特征 及环境意义[J]. 生态与农村环境学报,2016,32(6):933-

2013, 33(12): 3286-3292.

- Liu X L, Yao X, Dong J, et al. Fluorescence features of chromophoric dissolved organic matter in Dongping Lake and their environmental significance [J]. Journal of Ecology and Rural Environment, 2016, 32(6): 933-939.
- [18] 王震, 邹华, 杨桂军, 等. 太湖叶绿素 a 的时空分布特征及 其与环境因子的相关关系[J]. 湖泊科学, 2014, **26**(4): 567-575.
 - Wang Z, Zou H, Yang G J, et al. Spatial-temporal characteristics of chlorophyll-a and its relationship with environmental factors in Lake Taihu [J]. Journal of Lake Sciences, 2014, 26(4): 567-575.
- [19] 姜广甲,苏文,马荣华,等. 富营养化水体颗粒有机碳浓度的遥感估算及动态变化特征[J]. 红外与毫米波学报,2015, 34(2):203-210.
 - Jiang G J, Su W, Ma R H, et al. Remote estimation and temporal-spatial variability of particulate organic carbon concentrations in eutrophic inland water [J]. Journal of Infrared

- and Millimeter Waves, 2015, 34(2): 203-210.
- [20] 孔繁翔, 马荣华, 高俊峰, 等. 太湖蓝藻水华的预防、预测和预警的理论与实践[J]. 湖泊科学, 2009, **21**(3): 314-328
 - Kong F X, Ma R H, Gao J F, et al. The theory and practice of prevention, forecast and warning on cyanobacteria bloom in Lake Taihu[J]. Journal of Lake Sciences, 2009, 21(3): 314-328.
- [21] Murphy K R, Stedmon C A, Waite T D, et al. Distinguishing between terrestrial and autochthonous organic matter sources in marine environments using fluorescence spectroscopy[J]. Marine Chemistry, 2008, 108(1-2): 40-58.
- [22] Yamashita Y, Jaffé R, Maie N, et al. Assessing the dynamics of dissolved organic matter (DOM) in coastal environments by excitation emission matrix fluorescence and parallel factor analysis (EEM-PARAFAC) [J]. Limnology and Oceanography, 2008, 53(5): 1900-1908.
- [23] Stedmon C A, Markager S. Tracing the production and degradation of autochthonous fractions of dissolved organic matter by fluorescence analysis [J]. Limnology and Oceanography, 2005, 50(5): 1415-1426.
- [24] Williams C J, Yamashita Y, Wilson H F. Unraveling the role of land use and microbial activity in shaping dissolved organic matter characteristics in stream ecosystems [J]. Limnology and Oceanography, 2010, 55(3): 1159-1171.
- [25] Kowalczuk P, Cooper W J, Durako M J, et al. Characterization of dissolved organic matter fluorescence in the south atlantic bight with use of PARAFAC model; relationships between fluorescence and its components, absorption coefficients and organic carbon concentrations[J]. Marine Chemistry, 2010, 118 (1-2); 22-36.
- [26] Stedmon C A, Markager S. Resolving the variability in dissolved organic matter fluorescence in a temperate estuary and its catchment using PARAFAC analysis [J]. Limnology and Oceanography, 2005, 50(2): 686-697.
- [27] Zhang Y L, Van Dijk M A, Liu M L, et al. The contribution of phytoplankton degradation to chromophoric dissolved organic matter (CDOM) in eutrophic shallow lakes; field and experimental evidence [J]. Water Research, 2009, 43 (18); 4685-4697.
- [28] 方芳,翟端端,郭劲松,等.三峡水库小江回水区溶解性有机物的三维荧光光谱特征[J].长江流域资源与环境,2010, 19(3):323-328.
 - Fang F, Zhai D D, Guo J S, et al. Three-dimensional fluorescence spectroscopy characterization of dissolved organic matter in Xiaojiang river backwater area, Three Gorges Reservoir [J]. Resources and Environment in the Yangtze Basin, 2010, 19(3): 323-328.
- [29] 江俊武,李帅东,沈胤胤,等. 夏季太湖 CDOM 光学特性空间差异及其来源解析[J]. 环境科学研究, 2017, **30**(7): 1020-1030.

 Jiang J W, Li S D, Shen Y Y, et al. Spatial differences of optical properties of CDOM and their source apportionment in Taihu Lake in summer[J]. Research of Environmental Sciences, 2017, **30**(7): 1020-1030.
- [30] 姚昕, 张运林, 朱广伟, 等. 湖泊草、藻来源溶解性有机质及其微生物降解的差异[J]. 环境科学学报, 2014, **34**(3): 688-694.
 - Yao X, Zhang Y L, Zhu G W, et al. Different degradation

- mechanism of dissolved organic matter derived from phytoplankton and macrophytes in Lake Taihu, China $[\ J\]$. Acta Scientiae Circumstantiae, 2014, 34(3): 688-694.
- [31] 季乃云. 胶州湾荧光溶解有机物及其与环境因子关系的研究 [D]. 青岛: 中国科学院研究生院(海洋研究所), 2005.
- [32] 宋晓娜,于涛,张远,等.利用三维荧光技术分析太湖水体溶解性有机质的分布特征及来源[J].环境科学学报,2010,30(11);2321-2331.
 - Song X N, Yu T, Zhang Y, et al. Distribution characterization and source analysis of dissolved organic matters in Taihu Lake using three dimensional fluorescence excitation-emission matrix [J]. Acta Scientiae Circumstantiae, 2010, 30 (11): 2321-2331.
- [33] 王书航,王雯雯,姜霞,等. 基于三维荧光光谱-平行因子分析技术的蠡湖 CDOM 分布特征[J]. 中国环境科学,2016,36(2):517-524.
 - Wang S H, Wang W W, Jiang X, et al. Distribution of chromophoric dissolved organic matter in Lihu Lake using excitation-emission matrix fluorescence and parallel factor analysis [J]. China Environmental Science, 2016, 36(2): 517-524.
- [34] 冯伟莹,朱元荣,吴丰昌,等.太湖水体溶解性有机质荧光 特征及其来源解析[J].环境科学学报,2016,**36**(2):475-482.
 - Feng W Y, Zhu Y R, Wu F C, et al. The fluorescent characteristics and sources of dissolved organic matter in water of Tai Lake, China[J]. Acta Scientiae Circumstantiae, 2016, 36 (2): 475-482.
- [35] 黄昌春, 李云梅, 王桥, 等. 基于三维荧光和平行因子分析 法的太湖水体 CDOM 组分光学特征[J]. 湖泊科学, 2010, 22(3): 375-382.
 - Huang C C, Li Y M, Wang Q, et al. Components optical property of CDOM in Lake Taihu based on three-dimensional excitation emission matrix fluorescence [J]. Journal of Lake Sciences, 2010, 22(3): 375-382.
- [36] Grossart H P. Ecological consequences of bacterioplankton lifestyles; changes in concepts are needed [J]. Environmental Microbiology Reports, 2010, 2(6); 706-714.
- [37] Eiler A, Bertilsson S. Composition of freshwater bacterial communities associated with cyanobacterial blooms in four Swedish lakes[J]. Environmental Microbiology, 2004, 6(12): 1228-1243.
- [38] McCallister S L, Bauer J E, Ducklow H W, et al. Sources of estuarine dissolved and particulate organic matter: a multi-tracer approach [J]. Organic Geochemistry, 2006, 37(4): 454-468.
- [39] Mayer L M, Schick L L, Hardy K R, et al. Photodissolution and other photochemical changes upon irradiation of algal detritus [J]. Limnology and Oceanography, 2009, 54(5): 1688-1698.
- [40] Maki K, Kim C, Yoshimizu C, et al. Autochthonous origin of semi-labile dissolved organic carbon in a large monomictic lake (Lake Biwa): carbon stable isotopic evidence [J]. Limnology, 2010, 11(2): 143-153.
- [41] 张运林,秦伯强,龚志军.太湖有色可溶性有机物荧光的空间分布及其与吸收的关系[J].农业环境科学学报,2006,**25**(5):1337-1342.
 - Zhang Y L, Qin B Q, Gong Z J. Spatial distribution of chromophoric dissolved organic matter fluorescence and its relation with absorption in Lake Taihu [J]. Journal of Agro-Environment Science, 2006, 25(5): 1337-1342.

HUANJING KEXUE

Environmental Science (monthly)

Vol. 39 No. 5 May 15, 2018

CONTENTS

Estimation of Fine Particle (PM _{2,5}) Emission Inventory from Cooking: Case Study for Shanghai	WANG Hong-li, JING Sheng-ao, LOU Sheng-rong, et al. (1971)
Seasonal Variation and Source Analysis of Water-soluble Inorganic Salts in PM _{2,5} in the Southern Suburbs of Beijing	···· GAO Ya-qin, WANG Hong-li, JING Sheng-ao, et al. (1978)
Characteristics and Source Apportionment of Water-soluble Inorganic Ions in Road Dust PM, a During Spring in Tianiin Using the Out	adrat Sampling Method
Table D. L. College and D. L. College and D. Colleg	ZHAO Jing-qi, JI Ya-qin, ZHANG Lei, et al. (1994)
HONO Pollution Characteristics and Nighttime Sources During Autumn in Guangzhou, China	
Sulfur Sources and Oxidation Pathways in Summer Aerosols from Nanjing Northern Suburbs Using S and O Isotopes	
Methods for Determining and Applications of High-Resolution Vehicle Emission Inventory at County Scale	FAN Shou-bin, GUO Jin-jin, LI Xue-feng (2015)
Characteristics of Polycyclic Aromatic Hydrocarbons Emitted from Typical Industrial Biomass Boilers	LIN Yu-jun, BAI Li, WANG Huan-xiang, et al. (2023)
Research of Parameter Uncertainty for the HSPF Model Under Different Temporal Scales	
Contribution of Nitrogen Sources in Water Sources by Combining Nitrogen and Oxygen Isotopes and SIAR	
Pollution Characteristics and Health Risk Assessment of Volatile Organic Compounds in Baiyangdian Lake	··· GAO Qiu-sheng, ZHAO Yong-hui, JIAO Li-xin, et al. (2048)
Fluorescent Characteristics and Environmental Significance of Particulate Organic Matter in Lake Taihu, China Distribution and Settlement of Microplastics in the Surface Sediment of Yangtze Estuary	LU Wei-wei, YAO Xin, ZHANG Bao-hua, et al. (2056)
Water Chemistry and Characteristics of Dissolved Organic Carbon During the Wet Season in Wulixia Reservoir, SW China	
Bioavailability of Dissolved Organic Carbon in Rivers for Typical Vegetation Types in the Permafrost Regions on the Qinghai-Tibet Pla	ateau
Cl. v.s. (D. 1 10 . M. (DM) 1 1 1 . J. 2 1 . J. 1 1 H. W. 1 . D. 1 H. B.	····· MA Xiao-liang, LIU Gui-min, WU Xiao-dong, et al. (2086)
Characteristics of Dissolved Organic Matter (DOM) and Relationship with Dissolved Heavy Metals in a Peri-urban and an Urban Riv	er
Migration and Transformation of Dissolved Organic Matter in Karst Water Systems and an Analysis of Their Influencing Factors	
Source and Distribution of Dissolved Metal Ions in the Backwater Area of Pengxi River in Three Gorges Reservoir	
Differences in Diffusive Fluxes of Nutrients from Sediment Between the Natural River Areas and Reservoirs in the Lancang River Basi	in
Discourse in the Zandary Total Comment of the Comme	···· WANG Xue CHENG Bao YANG Zheng-ijan et al. (2126)
Nutrient Distribution Characteristics of the Sediment-water System in the Xiangxi River During the Impoundment of TGR	······ SU Oing-ging LIU De-fu II Dag-bin, et al. (2135)
Effects of Submerged Macrophytes on Different Phosphorus Fractions in Overlying Water and Interstitial Water	····· YANG Wen-bin, GAO Shun-feng, WAN Rui, et al. (2145)
Distribution Characteristics and Fluxes of Nitrogen and Phosphorus at the Sediment-water Interface of Yuqiao Reservoir	
Distribution of Phosphorus Fractions in Surface Sediments of Minijang Mainstreams	······ YANG Geng. OIN Yan-wen. HAN Chao-nan. et al. (2165)
Distribution of Phosphorus Fractions in Surface Sediments of Minjiang Mainstreams Nitrate Uptake Kinetics and Correlation Analysis in an Agricultural Drainage Ditch	LI Ru-zhong YIN Oi-he GAO Su-di et al. (2174)
Influencing Factors for Phosphorus Removal by Modified Rio-ceramic Substrates Coated with ZnAl-LDHs Synthesized by Different Mod	diffication Conditions
	VIANC Vana 7HANC Viana line LEI V., at al. (2104)
Removal of Odorants in Drinking Water Using VUV/Persulfate	SUN Xin. SHI Lu-xiao. ZHANG Yi. et al. (2195)
Degradation of OG with Peroxymonosulfate Activated by a MnFe ₂ O ₄ -graphene Hybrid	XIA Wen-jun, LIU Feng, HAO Shang-bin, et al. (2202)
Removal of Odorants in Drinking Water Using VUV/Persulfate Degradation of OG with Peroxymonosulfate Activated by a MnFe ₂ O ₄ -graphene Hybrid Mechanism of As(V) Removal from Water by Lanthanum and Cerium Modified Biochars	LI Jin, ZU Yan-qun, LI Gang, et al. (2211)
Adsorption of Dissolved Organic Matter with Different Relative Molecular Masses on Inorganic Minerals and Its Influence on Carbana	zenine Adsorption Rehavior
Adoption of Dissorted Organic matter with Director Actuative stoccastic matters of the International Conference of	LIANG Yu, HE Jiang-tao, ZHANG Si (2219)
Pollution Characteristics of Organophosphorus Flame Retardants in a Wastewater Treatment Plant Enhanced Coagulation as a Pretreatment for Low Temperature Wastewater	··· SUN Jia-wei, DING Wei-nan, ZHANG Zhan-en, et al. (2230)
Enhanced Coagulation as a Pretreatment for Low Temperature Wastewater	LIU Hai-long, REN Yu-xia, ZHANG Zhong-min (2239)
Operating Characteristics and Fouling Characteristics of a RO Membrane System for Desalination of Dyeing Wastewater	
Optimization of the Nitrogen Removal Performance on the CANON Process in a Biofilm Reactor: From FBBR to MBBR	······ FU Kun-ming, LI Hui, ZHOU Hou-tian, et al. (2256)
Microbial Community Dynamics During Two Sludge Granulation Processes	GAO Jing-feng, ZHANG Li-fang, ZHANG Shu-jun, et al. (2265)
Sludge Conditioning Performance of Polyaluminum, Polyferric, and Titanium Xerogel Coagulants	WANG Xiao-meng, WANG Xin, YANG Ming-hui, et al. (2274)
Effects of Heat and Heat-alkaline Treatments on Disintegration and Dissolved Organic Matter in Sludge	DAI Qin, ZHANG Wen-zhe, YU Pan-ten, et al. (2283)
Effect of Different Ratios of Anaerobic Time and Aeration Time on the Formation of Partial Nitrification Granules	LI Dong, GUO Yue-zhou, CAO Mei-zhong, et al. (2289)
Spatial and Temporal Variation of Mercury in Municipal Sewage Sludge in China	
Characteristics of N ₂ O Release and Influencing Factors in Grass-type and Algae-type Zones of Taihu Lake During Summer	ZHENG Xiao-lan, WEN Shuai-long, Ll Xin, et al. (2306)
Analysis of Greenhouse Gas Emission Characteristics and Their Influencing Factors in the Algae Zone of Lake Taihu	
Dynamics of CO ₂ and N ₂ O in Seasonal Frozen Soil Profiles for a Typical Steppe in Inner Mongolia	
Characteristics of CO ₂ Flux in a Mature Apple (Malus demestica) Orchard Ecosystem on the Loess Plateau	
Effects of Biochar Application Rates on Greenhouse Gas Emissions in the Purple Paddy Soil Short-Term Effects of Different Fertilization Treatments on Greenhouse Gas Emissions from Northeast Black Soil	
Eukaryotic Micro-plankton Community Diversity and Characteristics of Regional Distribution in the Yellow Sea by ITS High-throughpu	
Eukaryotic micro-piankion Community Diversity and Characteristics of Regional Distribution in the Teriow Sea by 115 rugh-unoughpu	
Influence of Different Patterns of Discharge on Microbial Diffusion in Municipal Treated Wastewater	
Impact of Tourism on Bacterial Communities of Karst Underground River: A Case Study from Two Caves in Fengdu, Chongqing	
Diversity of the Microbial Community in Rice Paddy Soil with Biogas Slurry Irrigation Analyzed by Illumina Sequencing Technology	, , , , , , , , , , , , , , , , , , , ,
Effect of Biochar Amendment on Physicochemical Properties and Fungal Community Structures of Cinnamon Soil	
Carbon Metabolism Characteristics of the Karst Soil Microbial Community for Pb-Zn Mine Tailings	
Denitrification Characteristics and Community Structure of Aerobic Denitrifiers from Lake and Reservoir Sediments	
Investigation of the Coupling Mechanism Between Naphthalene Degradation and Denitrification of a Naphthalene Degraded Bacterial C	
The coupling sections of the coupling sections and experimental population and Dentification of a coupling section of the coup	ZHANG Ze-vii WANG Ming-xia CHENG Yong-vi et al. (2438)
Spatial Distribution Study and Pollution Assessment of Pb in Soils in the Xijiang River Drainage of Guangxi	
Effects of Agricultural Activities on Soil Mercury Changes in the Water-Level-Fluctuating Zone of the Three Gorges Reservoir	
Screening and Identification of Arsenic-resistant Endophytic Bacteria from Different Rice Tissues (Oryza sativa L.) in Different Grow	vth Stages ·····
	WANG Bo-xun, WANG Xue-dong, DUAN Gui-lan (2464)
Characteristics of Mercury Transformation in Soil and Accumulation in Rice Plants in an Acidic Purple Paddy Soil Area	
Life Cycle Environmental Impact Assessment on Different Modes of Greenhouse Vegetable Production in the North China Plain	XU Qiang, HU Ke-lin, LI Ji, et al. (2480)
Health Effects of PM _{2.5} Based on Bacterial Toxicity Test and Transcriptional Analysis in Lungs of Mice	
Socio-economic Factors Influencing the Spatial Distribution of PM _{2.5} Concentrations in China; An Exploratory Analysis	